

05

Оптимизация геометрических параметров сферических сегментов из сплавов никелида титана с эффектом памяти формы

© М.А. Хусаинов, С.А. Попов, О.А. Малухина

Новгородский государственный университет им. Ярослава Мудрого,
173004 Великий Новгород, Россия
e-mail: Mikhail.Khusainov@novsu.ru

(Поступило в Редакцию 1 июля 2014 г. В окончательной редакции 13 ноября 2014 г.)

Приведена методика определения силы удара сферического сегмента о препятствующее тело (силоизмеритель) в фазовом переходе мартенсит → аустенит. Показано, что удар о препятствие реализуется при определенных соотношениях геометрических параметров сегмента. Построена модель зависимости силы удара от определяющих значений параметров D/R , h/R и получена разделяющая функция, позволяющая идентифицировать сегменты на прощелкивающие с ударом о препятствие и восстанавливающие форму без хлопка и соответственно без удара. Предложен метод расчета геометрических параметров сегмента (D , h , R) по заданной силе удара (P_{sh}), а также определение силы удара по геометрическим параметрам сегмента.

Введение

Одним из наиболее перспективных конструктивных элементов из сплавов с памятью формы является сферический сегмент, который на этапе фазового перехода мартенсит → аустенит теряет устойчивость и прощелкивает к исходной форме скачком, демонстрируя взрывной характер возврата термоупругой деформации памяти формы [1,2]. Данное явление, впервые обнаруженное нами, активно изучается [3,4]. Показано, что сферические сегменты с заданной памятью формы, после их прогиба в мартенсите, зеркально исходному очертанию, при отогреве восстанавливают форму с хлопком. Если на пути возврата формы установить препятствие в виде силоизмерителя, то при отогреве деформированный сегмент совершает удар о препятствующее тело с определенной силой [5]. Достаточно схожее поведение обнаружено в ферромагнитных сплавах Ni–Fe–Ga–Co [6], проявляющих взрывной характер памяти формы в магнитном поле. Различие лишь в том, что никелид титана такими свойствами не обладает. Но в некоторых конструктивных термоэлементах, изготовленных из сплавов никелида титана, взрывной характер деформации памяти формы реализуется. К таким термоэлементам можно отнести сферический сегмент и арку-полоску [7]. Опытным путем были найдены соотношения, при которых происходит взрывной скачок с хлопком и ударом о препятствующее тело в виде силоизмерителя.

Модель, рассмотренная в работе [8], оказалась полезной, но не дала адекватных результатов с экспериментом. В настоящей работе осуществлена оптимизация условий прощелкивания сегмента с хлопком и ударом о препятствие, исходя из определяющих соотношений геометрических параметров D/R и h/R .

Материалы и методика эксперимента

Сплавы никелида титана Ti–50.0 at.% Ni и Ti–50.4 at.% Ni были получены на предприятии промышленного центра „МАТЭК“ (Москва) в виде листов толщиной 1.0–1.2 mm. Последующая прокатка до толщины 0.37–0.48 mm осуществлялась на двухвалковом стане с промежуточными отжигами при 600°C в течение 5 min. Круглые пластинки диаметром $D = 17^{-0.2}$ mm вырезались по копиру на электроискровом станке. Затем они деформировались в пресс-форме с заданным радиусом кривизны и жестко защемлялись для придания сферической формы и задания памяти при температуре 420°C, 1.5 h. На рис. 1 показан общий вид сферических сегментов из исследуемых сплавов и их геометрические параметры.

Температуры мартенситных превращений (МП) определялись методом чистого изгиба образцов-свидетелей в виде пластинок с размерами $l \times b \times h = 35 \times 1.5 \times (0.44–0.48)$. В табл. 1 приведены значения температур МП исследуемых сплавов.

Определяющей силовой характеристикой сферических сегментов является сила удара о препятствующее тело. В настоящей работе приведены результаты исследования взаимосвязи силы удара сегмента с его геометрическими параметрами.

Оценка силы удара осуществлялась с помощью разрывной машины FPZ-1.0. На нижней траверсе разрывной машины устанавливалось специальное нагревательное

Таблица 1. Температуры МП после отжига 420°C, 1.5 h

Состав сплава	$M_s, ^\circ\text{C}$	$M_f, ^\circ\text{C}$	$A_s, ^\circ\text{C}$	$A_f, ^\circ\text{C}$
Ti–50.4 at.% Ni	21	10	36	47
Ti–50.0 at.% Ni	39	18	54	73

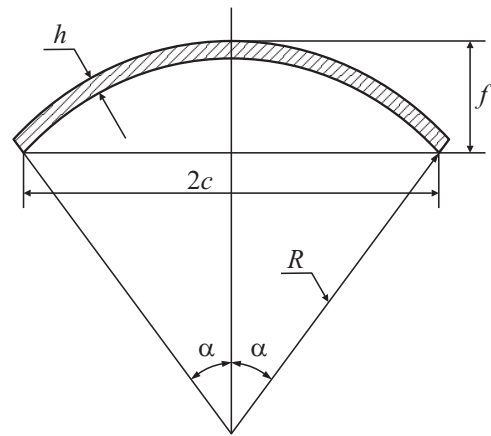
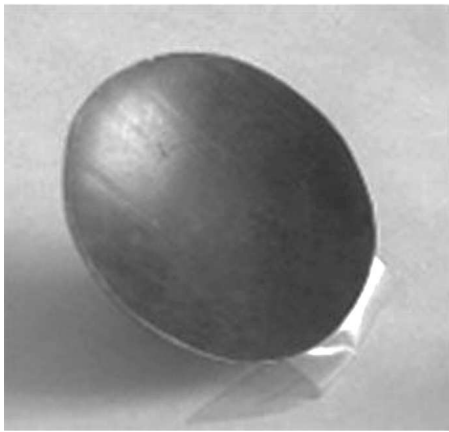


Рис. 1. Общий вид сферического сегмента и его геометрические параметры: h — толщина пластинки, f — высота подъема, $2c$ — диаметр в плане, R — радиус кривизны срединной поверхности, α — центральный угол.

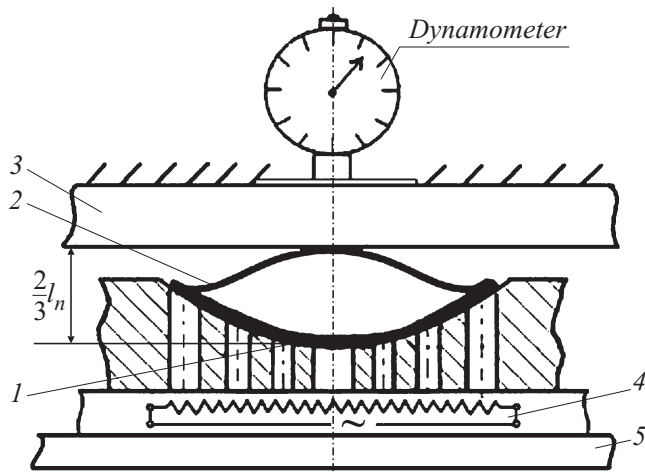


Рис. 2. Устройство для измерения силы удара сферического сегмента. 1 — начальное положение сферического сегмента после прогиба в мартенсите зеркально исходной формы, 2 — положение сегмента после перемещения на $2/3 l_n$ с ударом о верхнюю траверсу 3 разрывной машины с динамометром, 4 — нагреватель, 5 — нижняя траверса, Z — зазор между впадиной прогнутого сегмента и плоскостью верхней траверсы, $Z = 2/3 l_n$, где l_n — полный прогиб сегмента в мартенсите.

устройство в виде пресс-формы (рис. 2). Сферический сегмент, помещенный в пресс-форму, прогибался в мартенситном состоянии на величину $l_n = (f_M + f_A) - h$, где l_n — полный прогиб сегмента в мартенсите, f_M — стрела подъема сегмента после прогиба в мартенсите, f_A — в аустените, h — толщина пластинки. При отогреве до температуры окончания обратного мартенситного превращения (A_f) сферический сегмент теряет устойчивость и совершает взрывной скачок к исходной форме с ударом об установленное препятствие.

На рис. 3 приведена типичная диаграмма прогиба сферического сегмента в мартенсите $ABCDE$ и отогрева от положения точек E до L, N, G, K, S, A .

Теперь если поочередно устанавливать препятствие в виде силоизмерителя в положения E, L, N, G, K, S , то при нагреве в материале сегмента будут возникать

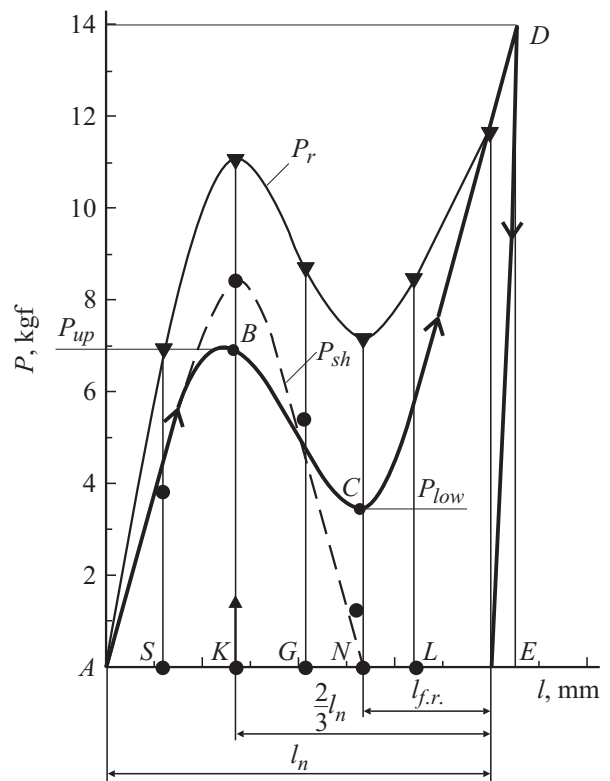


Рис. 3. Характерная диаграмма нагрузка–прогиб сферического сегмента в мартенсите $ABCDE$ с последующим ударом о препятствие в положениях точек L, N, G, K, S, A и развитием реактивных сил (P_r) при отогреве. $l_{f.r}$ — свободное восстановление формы.

реактивные силы (P_r). Кинетика развития реактивных сил в значительной степени определяется наличием или отсутствием свободного восстановления формы сегмента ($l_{f.r.}$) до препятствующего тела в каждом из указанных положений. В частности, сферический сегмент в положении точки E испытывает абсолютно жесткое защемление ($k \rightarrow \infty$), восстановление деформации запрещено. В таких условиях в материале сегмента генерируют только реактивные силы, величина которых определяется геометрией сегмента и механическими свойствами материала. В положении препятствия в точке L создаются условия конечной жесткости с долей свободного восстановления формы от точки E до встречи с препятствием в точке L . Удар о препятствие не реализуется. Уровень реактивных сил снижается. В положении препятствия в точке N величина свободного формовосстановления (EN) достигает критического значения. Сферический сегмент в этом положении теряет устойчивость и прощелкивает к исходной форме. Однако при значительной величине свободного восстановления до препятствия в точке N реализуются условия малой жесткости. В результате реактивные силы (P_r) минимальны, удар о препятствие практически отсутствует. Препятствие в положении точки G воспринимает удар сегмента вследствие взрывного скачка сегмента из положения точки N . Сила удара о препятствие, установленное в точке K , достигает максимальной величины. Продолжение нагрева сегмента после столкновения с препятствием всегда приводит к развитию реактивных сил. В положении препятствия в точке S сила удара и реактивные усилия заметно снижаются, а положение точки A фиксирует полный возврат формы сферического сегмента. Силовые характеристики P_{sh} и P_r принимают нулевые значения.

Статистическая обработка многочисленных диаграмм нагружения сферических сегментов (более 100) с развитием реактивных сил и ударом о силоизмеритель при отогреве позволила установить взаимосвязь между геометрическими параметрами сегмента и максимально достижимой силой удара, характеризующейся положением точки K (рис. 3), из которого следует, что положение точки K от начала нагрева деформированного сегмента (точка E) составляет $2/3l_n$, в таком положении препятствующего тела реализуется удар максимальной силы.

Характерным для всех диаграмм нагружения (прогиба) сферических сегментов в мартенсите независимо от состава сплава TiNi является то, что положению точки K соответствует максимум верхней критической нагрузки P_{up} , а точке N — минимум (P_{low}). Распределение сил удара и реактивных сил в области указанных точек на всех (> 100) диаграммах соблюдается прямая закономерность: чем больше величина верхней критической нагрузки (P_{up}) кривой нагружения, тем выше ожидаемые значения силы удара (P_{sh}) и реактивных сил (P_r). Тогда как в области нижней критической нагрузки (P_{low}), в которой сегмент теряет устойчивость, силовые характеристики минимальны.

Таблица 2. Численные значения коэффициентов b_i и t_{exp}

b_i	b_0	b_1	b_2	b_{12}	b_{11}	b_{22}
	30.8	-270.8	7522.8	-32407.5	613.2	432437.1
t_{exp}	1.556	-3.455	4.182	-5.098	5.247	4.312

Построение модели зависимости силы удара от геометрических параметров

Экспериментально показано, что сила удара сферических сегментов из сплавов эквиатомного состава и обогащенного никелем не различалась по величине силы удара при одинаковых геометрических размерах. Их различие наблюдалось только в температуре потери устойчивости. В результате полученные данные зависимости силы удара сегментов от геометрических размеров обрабатывались методом регрессионного анализа [9,10].

В качестве модели, описывающей зависимость силы удара сегмента о препятствие от соотношений геометрических параметров D/R и h/R , использовалась квадратичная функция в виде

$$P_{sh} = b_0 + b_1 z_1 + b_2 z_2 + b_{12} z_1 z_2 + b_{11} z_1^2 + b_{22} z_2^2, \quad (1)$$

где z_1 и z_2 — независимые переменные, $z_1 = D/R$ и $z_2 = h/R$, P_{sh} — сила удара с хлопком.

Коэффициенты модели b_0 , b_1 , b_2 , b_{12} , b_{11} и b_{22} определялись методом наименьших квадратов [11], основанном на минимизировании суммы квадратов расхождения между значениями результатов эксперимента и найденных из модели (1).

Проверка значимости в эксперименте (t_{exp}) коэффициента b_i определялась по формуле $t_{exp} = |b_i|/S(b_i)$, где $S(b_i)$ — стандартное отклонение коэффициента b_i .

Рассчитанное значение t_{exp} сравнивалось с табличным (t_{tab}), для заданного числа степеней свободы $f = n - k$, где n — количество опытов, k — число коэффициентов в уравнении (1), при уровне значимости 0.05, обычно используемым в технических задачах. Коэффициент b_i считается значимым, если найденное значение t_{exp} по абсолютной величине превышает табличное значение критерия Стьюдента. В данном эксперименте $n = 72$, $k = 66$ и $t_{tab} = 1.67$.

Видно, что все коэффициенты в уравнении (1) значимы, кроме b_0 (табл. 2). В итоге получено уравнение с пятью коэффициентами

$$P_{sh} = b_1 z_1 + b_2 z_2 + b_{12} z_1 z_2 + b_{11} z_1^2 + b_{22} z_2^2. \quad (2)$$

Рассчитанные для этого уравнения коэффициенты b_i и соответствующие им значения t_{exp} приведены в табл. 3.

Из сравнения t -критерия по экспериментальным данным (t_{exp}) с табличным ($t_{tab} = 1.67$) видно, что все коэффициенты в уравнении (2) значимы.

После подстановки рассчитанных коэффициентов в уравнение (2) получено выражение в качестве модели,

Таблица 3. Скорректированные численные значения коэффициентов b_i и t_{exp}

b_i	b_1	b_2	b_{12}	b_{11}	b_{22}
	-174.0	6922.9	-31595.3	538.8	432726
t_{exp}	-3.611	3.899	-4.935	5.000	4.270

описывающей зависимость силы удара сферического сегмента о препятствующее тело, от соотношений геометрических параметров D/R и h/R , в виде

$$P_{sh} = -124 \frac{D}{R} + 6923 \frac{h}{R} - 316 \cdot 10^2 \frac{D}{R} \frac{h}{R} + 539 \left(\frac{D}{R}\right)^2 + 432 \cdot 10^3 \left(\frac{h}{R}\right)^2. \quad (3)$$

Для проверки адекватности построенной модели (3) рассчитывалась остаточная дисперсия s_r^2 по формуле

$$s_r^2 = \frac{1}{f} \sum_{j=1}^n (\hat{P}_{sh,j} - P_{sh,j})^2, \quad (4)$$

где $\hat{P}_{sh,j}$ — оценка силы хлопка, полученная по выражению (3) для j -го наблюдения, $P_{sh,j}$ — соответствующее наблюдаемое значение силы хлопка, f — число степеней свободы.

Для модели (3) остаточная дисперсия (4) равна $s_r^2 = 2.847 \text{ kg}^2$. Для модели, построенной в работе [8] для геометрических параметров D, R и h , остаточная дисперсия имеет значение $s_r^2 = 9.07 \text{ kg}^2$. Видно, что модель (3) значительно лучше согласуется с экспериментальными данными.

Выполненные нами исследования свидетельствуют о том, что не при всех комбинациях параметров D/R и h/R реализуются условия прощелкивания с хлопком и ударом о препятствующее тело. В связи с этим представляет интерес построение разделяющей функции в системе координат D/R и h/R , позволяющей разделить области, где удар о препятствие имеет место и в каком он отсутствует.

В качестве разделяющей функции $g(Z, A)$ выбрана функция второго порядка в виде

$$g(Z, A) = a_0 + a_{1z_1} + a_{2z_2} + a_{12z_1z_2} + a_{11z_1^2} + a_{22z_2^2}, \quad (5)$$

где Z — вектор геометрических параметров z_1, z_2 ; A — вектор коэффициентов a_i данного уравнения.

Уравнение, описывающее разделяющую функцию (границу раздела), имеет вид

$$g(Z, A) = a_0 + a_{1z_1} + a_{2z_2} + a_{12z_1z_2} + a_{11z_1^2} + a_{22z_2^2} = 0, \quad (6)$$

где a_i — коэффициенты.

Расчет коэффициентов уравнения выполнялся методом наименьших квадратов. При этом считалось, что для области с ударом о препятствие разделяющая функция $g(Z, A)$ положительна и принимает значения $(+1)$, а для области сегментов без удара $g(Z, A)$ отрицательна, принимает значения (-1) .

Однако при расчете коэффициентов оказалось, что чем дальше находятся сегменты в пространстве независимых переменных z_1 и z_2 от границы раздела областей, тем больше величина функции $g(Z, A)$ для этих сегментов. Это обстоятельство приводит к значительным ошибкам распознавания. Поэтому, чтобы ограничить влияние сегментов, которые находятся далеко от границы раздела, на величину разделяющей функции при расчете коэффициентов A , уравнение (5) записывается с использованием логарифма этой функции в виде

$$h(Z, A) = \text{sign}[g(Z, A)] \ln\{abc[g(Z, A)]\} \quad (7)$$

или в поэлементном виде

$$h(Z, A) = \text{sign}[g(Z, A)] \ln(|a_0 + a_{1z_1} + a_{2z_2} + a_{12z_1z_2} + a_{11z_1^2} + a_{22z_2^2}| + 1). \quad (8)$$

Вследствие этого расчет коэффициентов уравнения (7) выполняется с помощью итерационной процедуры [12]:

$$A^{s+1} = A^s + \left[\sum_{j=1}^n F(Z_j, A^s) F(Z_j, A^s)^T \right]^{-1} \times \sum_{j=1}^n F(Z_j, A^s) [u_j - h(Z_j, A)], \quad (9)$$

где u_j — заданное значение функции (6) для j -го сегмента $(+1$ или $-1)$

$$F(Z, A) = \frac{\partial h(Z, A)}{\partial A} = \text{sign}[g(Z, A)] \frac{1}{|g(Z, A)| + 1} \frac{\partial g(Z, A)}{\partial A},$$

а вектор

$$\frac{\partial g(Z, A)}{\partial A} = \{1, z_1, z_2\}^T.$$

Ковариационная матрица оценок коэффициентов рассчитывается по формуле

$$V_A = s_e^2 \left[\sum_{j=1}^n F(Z_j, A) F(Z_j, A)^T \right]^{-1}, \quad (10)$$

где s_e^2 — дисперсия ошибки наблюдения.

В качестве оценки дисперсии наблюдения классов использовалась остаточная дисперсия, рассчитываемая

по формуле

$$s_e^2 = \frac{1}{f} \sum_{j=1}^n [h(\mathbf{Z}_j, \mathbf{A}) - u_j]^2, \quad (11)$$

где u_j — значение разделяющей функции, принятой для данной области сегментов из опытных данных, f — число степеней свободы.

Диагональные элементы матрицы \mathbf{V}_A (8) представляют дисперсии оценок соответствующих коэффициентов, что позволяет рассчитать их критерии Стьюдента и, таким образом, проверить значимость коэффициентов в уравнении разделяющей функции (5).

Экспериментальные данные для расчета разделяющей функции включали 72 сегмента с хлопком и 65 сегментов без хлопка (всего 137 сегментов).

Для расчета коэффициентов разделяющей функции (5) использовалась специально разработанная программа [12]. Результаты расчета коэффициентов разделяющей функции и значения критерия Стьюдента для каждого коэффициента t_{exp} приведены в табл. 4.

Число степеней свободы равно $f = 131$, на уровне значимости $\alpha = 0.05$ из сравнения t_{exp} и $t_{\text{tab}} = 1.978$ все коэффициенты, указанные в табл. 4, значимы. Однако при использовании уравнения (5) с коэффициентами, приведенными в табл. 4, оказалось, что семь сегментов без удара попали в область сегментов с ударом, т.е. распознаны неправильно.

Для практических применений сегментов важно, чтобы сегменты без удара распознавались правильно. Для уменьшения ошибки распознавания сегментов без удара воспользовались методом распознавания [13] и методом статистических вычислений [14]. Для области сегментов без удара приняли значения функции $g(\mathbf{Z}, \mathbf{A}) = -2.5$ вместо $g(\mathbf{Z}, \mathbf{A}) = -1$. После этого коэффициенты разделяющей функции (уравнения (5)) рассчитывались заново. Вероятность неправильного распознавания сегментов без удара $P = 0.001$. Результаты расчета приведены в табл. 5.

Таблица 4. Численные значения коэффициентов a_i и t_{exp}

	a_0	a_1	a_2	a_{12}	a_{11}	a_{22}
a_i	-36.51	163.17	-2268.13	14494.10	-301.87	-215519.28
t_{exp}	-10.46	13.06	-9.94	19.50	-19.40	-18.54

Таблица 5. Численные значения коэффициентов a_i в уравнении (5) и t_{exp}

	a_0	a_1	a_2	a_{12}	a_{11}	a_{22}
a_i	-99.00	358.35	-3502.02	27422.56	-601.85	-425168.92
t_{exp}	-28.33	27.89	-13.47	33.82	-35.75	-32.69

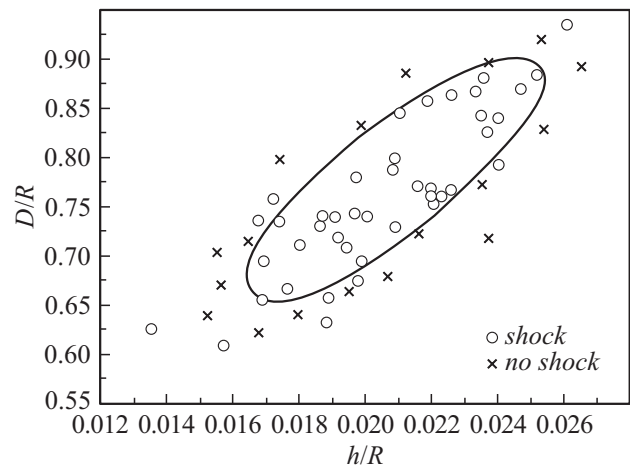


Рис. 4. Поле рассеяния параметров сегментов и вид разделяющей функции.

Число степеней свободы $f = 131$, $t_{\text{tab}} = 1.978$ при уровне значимости $\alpha = 0.05$.

Из табл. 5 видно, что все коэффициенты значимы. Следовательно, все сегменты без удара распознаны правильно. В результате уравнение разделяющей функции можно представить в виде

$$-99.00 + 35.84 \cdot 10 \frac{D}{R} - 35.02 \cdot 10^2 \frac{h}{R} + 27.42 \cdot 10^3 \frac{D}{R} \frac{h}{R} - 60.18 \cdot 10 \frac{D}{R} - 42.52 \cdot 10^4 \frac{h}{R} = 0. \quad (12)$$

На рис. 4 показаны поле рассеяния параметров сегментов в системе координат D/R и h/R , которые использовались в эксперименте, и вид кривой разделяющей функции, рассчитанной по уравнению (5).

Замкнутая линия является разделяющей функцией и представляет собой границу раздела двух областей, в одной из которых (внутренняя область) сегменты прощелкивают с ударом о препятствующее тело, а в другой не прощелкивают. В результате удар не реализуется. Таким образом, внутренняя область на рис. 5 является областью допустимых значений параметров сегментов D/R и h/R , при которых они прощелкивают с хлопком и ударом о препятствие.

Расчет оптимальных значений

Для расчета оптимальных значений геометрических параметров сегментов, при которых реализуется хлопок с ударом, по уравнению (3) рассчитывалась сила удара (P_{sh}) для сегментов с геометрическими параметрами D/R и h/R , которые входят в область допустимых значений (внутренняя область на рис. 5). Оптимальные значения параметров определялись методом статистических испытаний [14]. Для этого генерировался вектор параметров уравнения (3), принадлежащий обла-

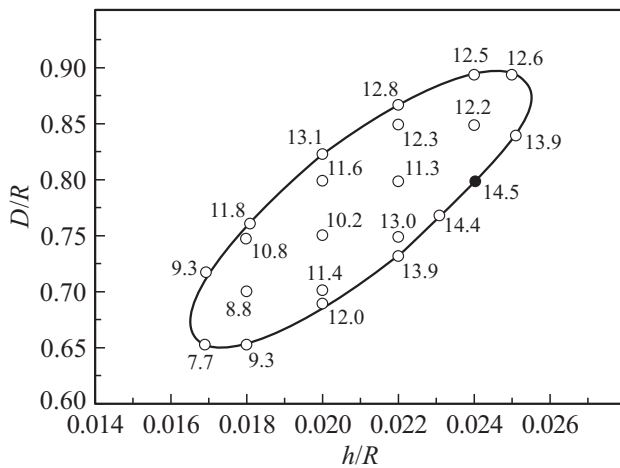


Рис. 5. Вид разделяющей функции и рассчитанные по модели значения силы удара (kgf) при различных параметрах D/R и h/R .

сти допустимых значений, определяемый неравенством $g(Z, A) > 0$, отыскивалась наибольшая величина силы удара и соответствующие ей значения параметров Z . Для расчета использовалась программа [15], с помощью которой находили наибольшие значения силы удара при различных комбинациях z_1 и z_2 . При нахождении оптимальных параметров задавалось 10^6 испытаний, точность определения P_{sh} и параметров $z_1 = D/R$, $z_2 = h/R$ составляла $1.1 \cdot 10^{-4}$. Полученная в результате статистических испытаний зависимость силы удара (P_{sh}) от параметров D/R и h/R показана на рис. 5.

Замкнутая линия — вид разделяющей функции, цифры — значения силы удара при различных отношениях геометрических параметров D/R и h/R . Видно, что наибольшие значения силы удара находятся в средней части правой ветви разделяющей функции, т.е. на краю допустимой области, в которой выполняется хлопок с ударом о препятствие. Максимальному значению силы удара сферических сегментов соответствует черная точка с параметрами $h/R = 0.024$ и $(D/R)_{opt} = 0.8$. При этих параметрах сила удара достигает максимального значения ($P_{sh}^{max} = 14.5$ kgf).

Таким образом, используя вид разделяющей функции, нетрудно выбрать соотношения геометрических параметров (D/R и h/R), при которых совершается удар о препятствующее тело с максимальной силой или близкой к ней.

В данной модели диаметр сегмента принят равным $17-0.2$ mm. Поэтому если кроме диаметра (D) задается толщина пластинки (h), то необходимо использовать программу [15]. Во время поиска оптимальных значений в программе обеспечивается постоянная величина отношения D/h . Например, при заданных $D = 16.5$ mm и $h = 0.4$ mm получим $D/h = 41.25$. Оптимизация параметров D/R и h/R , осуществляемая при условии, что $D/h = 41.25$, программа дает значения $D/R = 0.80$ и $h/R = 0.019$; при этих значениях сила удара 12.66 kgf.

Приведенные результаты расчета позволяют оптимизировать геометрические параметры сферических сегментов.

Выводы

1. Разработана методика определения силы удара сферических сегментов о препятствие, установленное на пути возврата формы сегмента при отогреве.

2. Установлена размерная связь геометрических параметров сферических сегментов с положением препятствия на пути возврата формы в виде $l = 2/3l_n$, при котором происходит удар сегмента о препятствующее тело с максимально достижимой силой.

3. Построена модель зависимости силы удара от соотношений геометрических параметров сферических сегментов (D/R и h/R), позволяющая прогнозировать силу удара о препятствующее тело.

4. Получена разделяющая функция в пространстве соотношений D/R и h/R , определяющая области геометрических параметров сферических сегментов, с ударом о препятствие и без удара.

5. Разработана программа расчета геометрических параметров сферических сегментов (D , R , h) по их соотношениям D/R и h/R при заданной силе удара.

6. Расчеты по модели, согласованные с экспериментально полученными данными, позволяют установить оптимальные размеры сферических сегментов, обеспечивающие удар максимальной силой.

Работа подготовлена при финансовой поддержке Минобрнауки России в рамках базовой части государственного задания.

Список литературы

- [1] Хусаинов М.А. // Вестник НовГУ. 1995. № 1. С. 67–75.
- [2] Хусаинов М.А. // ЖТФ. 1997. Т. 67. Вып. 8. С. 118–120.
- [3] Хусаинов М.А., Малухина О.А. // Тр. III Межд. науч. сем. „Современные проблемы прочности“ им. В.А.Лихачева. Россия, Старая Русса, 1999. Ч. 2. С. 185–189.
- [4] Сплавы никелида титана с памятью формы. Ч. 1. Структура, фазовые превращения и свойства / Под ред. В.Г. Пушина. Екатеринбург, 2006. С. 230–237.
- [5] Хусаинов М.А., Бондарев А.Б., Андреев В.А., Чухонкин М.В. // Вестник ТГУ. 2010. Т. 15. Вып. 3. С. 1260–1264.
- [6] Николаев В.Ч., Якушев П.Н., Малыгин Г.А., Пульцев С.А. // Письма в ЖТФ. 2010. Т. 36. Вып. 19. С. 83–90.
- [7] Малыгин Г.А., Хусаинов М.А. // ЖТФ. 2004. Т. 74. Вып. 10. С. 57–63.
- [8] Попов С.А., Хусаинов М.А., Бондарев А.Б., Андреев В.А. // Вестник НовГУ. 2005. № 34. С. 12–16.
- [9] Адлер Ю.П., Марков Е.В., Грановский Ю.В. Планирование эксперимента при поиске оптимальных условий. М.: Наука, 1976. 279 с.
- [10] Митропольский А.К. Техника статистических вычислений. М.: Наука, 1971. 576 с.

- [11] *Хартман Л.* и др. Планирование экспериментов в исследовании технологических процессов. М.: Мир, 1977. 552 с.
- [12] *Попов С.А., Хусаинов М.А., Бондарев А.Б.* Расчет оценок коэффициентов функции, разделяющей в пространстве геометрических параметров область с хлопком и область без хлопка для выпуклых сегментов из материала с памятью формы: свидетельство о регистрации программ для ЭВМ № 2013612574. Заявитель и правообладатель „Новгородский государственный университет“, № 2013610024; заявл. 10.01.13; зарег. 05.03.13.
- [13] *Дуда Р., Харт П.* Распознавание образцов и анализ сцен. М.: Мир, 1976. 511 с.
- [14] *Бард Й.* Нелинейное оценивание параметров. М.: Статистика, 1979. 349 с.
- [15] *Попов С.А., Хусаинов М.А., Бондарев А.Б.* Расчет оптимальной силы удара выпуклых сегментов из материала с памятью формы и их геометрических размеров методом статистических испытаний: свидетельство о регистрации программ для ЭВМ № 2013612481. Заявитель и правообладатель „Новгородский государственный университет“, № 2013610133; заявл. 10.01.13; зарег. 01.03.13.